

## برآورد تبخیر و تعرق مرجع با استفاده از تصاویر ماهواره نوا و مدل درختی M5 برای شبکه‌های آبیاری - مطالعه موردی شبکه آبیاری قزوین

محمد امین مرادی و علی رحیمی خوب<sup>\*۱</sup>

(تاریخ دریافت: ۱۳۹۰/۱۲/۱۰؛ تاریخ پذیرش: ۱۳۹۱/۵/۲۳)

### چکیده

تبخیر و تعرق مرجع ( $ET_0$ ) یکی از پارامترهای لازم برای تعیین آب مورد نیاز و برنامه‌ریزی آبیاری گیاهان است. در این تحقیق، روشی ارائه شد که این پارامتر در شبکه‌های آبیاری با استفاده از تصاویر ماهواره نوا برآورد شود. در این روش، برای هر تصویر، یک پیکسل از مجموعه پیکسل‌های محدوده شبکه آبیاری با بیشترین شاخص پوشش گیاهی انتخاب شد و دمای سطح آن به همراه پارامتر تابش فرا زمینی به عنوان ورودی مدل تبخیر و تعرق استفاده می‌شود. مدل درختی M5 برای تبدیل دمای سطح زمین و تابش فرا زمینی به  $ET_0$  به کار رفت. شبکه مورد مطالعه این تحقیق شبکه آبیاری قزوین بود. تعداد ۲۳۱ تصویر ماهواره نوا مربوط به فصل آبیاری شبکه قزوین برای یک دوره ۳ ساله استفاده شد. نتایج نشان داد که  $ET_0$  با استفاده از مدل تدوین شده و داده‌های اختصاص داده شده برای آزمون، با ضریب تعیین ( $R^2$ )، درصد جذر میانگین مربع خطا (RMSE) و درصد میانگین انحراف خطا (MBE) به ترتیب برابر ۰/۸۱، ۸/۵ درصد و ۲/۵ درصد برآورد شده است.

واژه‌های کلیدی: تصاویر ماهواره‌ای، دمای سطح زمین، تابش فرا زمینی، پنمن - مانیت

۱. گروه مهندسی آبیاری و زه‌کشی، پردیس ابوریحان، دانشگاه تهران

\*: مسئول مکاتبات، پست الکترونیکی: akhob@ut.ac.ir

## مقدمه

تبخیر و تعرق گیاه مرجع ( $ET_0$ ) یکی از پارامترهای مهم برای برآورد نیاز آبی و برنامه‌ریزی آبیاری گیاهان است. اندازه‌گیری مستقیم این پارامتر به‌وسیله لایسیمتر با دقت زیادی تعیین می‌شود، ولی به‌دلیل هزینه زیاد خرید آن و آزمایش‌های زمان‌بر از معادلات و روابط مبتنی بر داده‌های هواشناسی استفاده می‌شود. براساس تحقیقات کارشناسان سازمان فائو (FAO)، معادله تبخیر و تعرق پنمن-مانتیث که براساس مفاهیم فیزیکی تدوین شده، دقیق‌ترین نتایج را برای تمام شرایط آب و هوایی ارائه می‌دهد (۲). این سازمان با توجه به خصوصیات تعریف شده برای گیاه مرجع، این معادله (با علامت FAO-PM) را برای گیاه مرجع فرموله کرده و آن را به‌عنوان معادله استاندارد برای تعیین  $ET_0$  و واسنجی معادلات ساده تبخیر و تعرق معرفی کرده است.

برای تعیین  $ET_0$  با استفاده از معادله FAO-PM و یا سایر معادلات تجربی نیاز به داده‌های ایستگاه‌های هواشناسی است. داده‌های ایستگاه‌های هواشناسی و  $ET_0$  حساب شده با استفاده از این داده‌ها از نوع مکانی نقطه‌ای هستند و به عبارتی فقط در محدوده نزدیک ایستگاه‌ها اعتبار دارند. پیشرفت فناوری سنجش از دور و نرم‌افزارهای پردازش تصاویر ماهواره‌ای، دسترسی به خصوصیات پدیده‌های زمینی را به‌صورت گسترده از نظر مکانی و زمانی فراهم کرده است. خصوصیات و ویژگی‌های سطح زمین با استفاده از باندهای مختلف سنجنده ماهواره‌ها قابل تعیین است. شاخص تفاضل نرمال شده پوشش گیاهی (NDVI) یکی از شاخص‌هایی است که با استفاده از باندهای فوق برای تعیین تراکم پوشش گیاهی استفاده می‌شود. مقدار این شاخص از نظر تئوری بین -۱ تا +۱ بوده که عدد منفی مؤید پوشش ابری، وجود آب یا برف است. عدد مثبت نزدیک صفر نشان دهنده اراضی بایر و فاقد پوشش گیاهی و بیشتر از ۰/۵ نشان دهنده تراکم زیاد پوشش گیاهی است (۷). دمای سطح زمین با استفاده از باندهای حرارتی ماهواره‌ها تا دقت ۲ درجه سانتی‌گراد برآورد می‌شود. تحقیقات نشان داده که

پارامترهای هواشناسی و هم‌چنین تبخیر و تعرق می‌تواند با استفاده از شاخص پوشش گیاهی و دمای سطح زمین با دقت مطلوبی برآورد شوند. در تحقیقی در استان خوزستان، بیشینه دمای هوا با استفاده از داده‌های ماهواره نوا و به کمک مدل شبکه عصبی با دقت مطلوبی به‌دست آمد (۱). معادله FAO-PM برای یکی از مناطق نیمه مرطوب آرژانتین به یک معادله ساده خطی که ورودی آن دمای سطح زمین است، تبدیل شد (۱۴). ضرایب این معادله تابع پارامترهای آئروودینامیک هوا و تابش رسیده به زمین است و برای منطقه‌ای در آرژانتین نشان داده شد که در طول سال تقریباً ثابتند و  $ET_0$  فقط با استفاده از دمای سطح زمین با دقت ۰/۶ میلی‌متر در روز برآورد شد. پارامتر دمای سطح زمین به‌دست آمده از تصاویر مودیس به‌عنوان ورودی در سه معادله تجربی مبتنی بر دمای هوا شامل هارگریوز، تورنت وایت و بلینی - کریدل در منطقه‌ای در کنیا مورد بررسی قرار گرفت (۸). نتایج این بررسی نشان داد، وقتی دمای سطح زمین به جای دمای هوا در این مدل‌ها استفاده شود، مدل هارگریوز بهترین نتیجه را ارائه می‌دهد که در آن  $ET_0$  با دقت ۰/۴۷ میلی‌متر در روز برآورد شد.

در سال‌های اخیر مدل‌های هوشمند به‌عنوان روش‌های جدید برای مدل‌سازی روابط پیچیده مورد استفاده قرار گرفته‌اند. از جمله این مدل‌ها، شبکه‌های تصمیم‌گیری درختی است که در سایر علوم مهندسی کاربرد زیادی پیدا کرده است. درختان تصمیم‌گیری نسل جدید داده کاوی است و از آن برای کشف و استخراج دانش استفاده می‌شود. داده‌ها براساس روابط موجود در یک مجموعه داده با استفاده از شبکه درختی به گروه‌هایی تقسیم‌بندی می‌شود. مدل درختی M5، از یک معادله رگرسیون خطی برای ارتباط بین متغیرهای مدل در آخرین گروه از یک شبکه درختی استفاده می‌کند. این مدل برای تبدیل چهار پارامتر تابش خورشیدی، متوسط دمای هوا، متوسط رطوبت نسبی و متوسط سرعت باد به  $ET_0$  در منطقه کالیفرنیا آمریکا مورد بررسی قرار گرفت و نتایج مطلوبی در مقایسه با معادلات FAO-PM و هارگریوز ارائه داد (۱۱).

### داده‌های هواشناسی

ایستگاه هواشناسی قزوین در داخل شبکه آبیاری قزوین قرار گرفته و داده‌های روزانه این ایستگاه به مدت سه سال (از سال‌های ۲۰۰۶ تا ۲۰۰۸) برای برآورد  $ET_0$  با استفاده از معادله FAO-PM مورد استفاده قرار گرفت. این داده‌ها شامل دمای حداکثر و حداقل ماکزیمم، رطوبت نسبی، سرعت باد و ساعات آفتابی هستند.

### داده‌های ماهواره نوا

سنجنده AVHRR ماهواره نوا، تابش منعکس شده و حرارت ساطع شده از سطح زمین را در پنج باند اندازه‌گیری می‌کند. باندهای مرئی (۰/۵۸-۰/۶۸ میکرومتر)، مادون قرمز نزدیک (۰/۷۲۵-۱/۱۰ میکرومتر)، مادون قرمز میانی (۳/۵۵-۳/۹۸ میکرومتر) و دو تا مادون قرمز حرارتی (۱۰/۳-۱۱/۳ میکرومتر و ۱۱/۵-۱۲/۵ میکرومتر) ۵ باند سنجنده AVHRR را تشکیل می‌دهند. ابعاد پیکسل‌های تصویر ماهواره نوا حدود ۱ کیلومتر مربع در نقطه نادیر (Nadir) برای تمام باندها است. این ماهواره یک منطقه معین را ۲ بار در هر شبانه روز (یک بار در روز و یک بار در شب) تصویربرداری می‌کند.

در این تحقیق ۲۳۱ تصویر روز و بدون پوشش ابر ماهواره نوا به مدت ۳ سال (۲۰۰۶ تا ۲۰۰۸) از ماه‌های مه تا سپتامبر (اردیبهشت تا شهریور) از پایگاه اینترنتی [www.class.ncdc.noaa.gov](http://www.class.ncdc.noaa.gov) اخذ گردید. فصل کشاورزی، صاف و بدون ابر بودن هوا که برای مطالعات سنجش از دور ماهواره‌ای مناسب است، علت انتخاب ماه‌های فوق بوده است و لذا نتایج این بررسی برای این دوره زمانی که مصادف با ماه‌های فصل آبیاری استان قزوین است، صادق می‌باشد. زمان گذر تصاویر فوق بین ۱۲ تا ۲ بعد از ظهر به وقت ایران است.

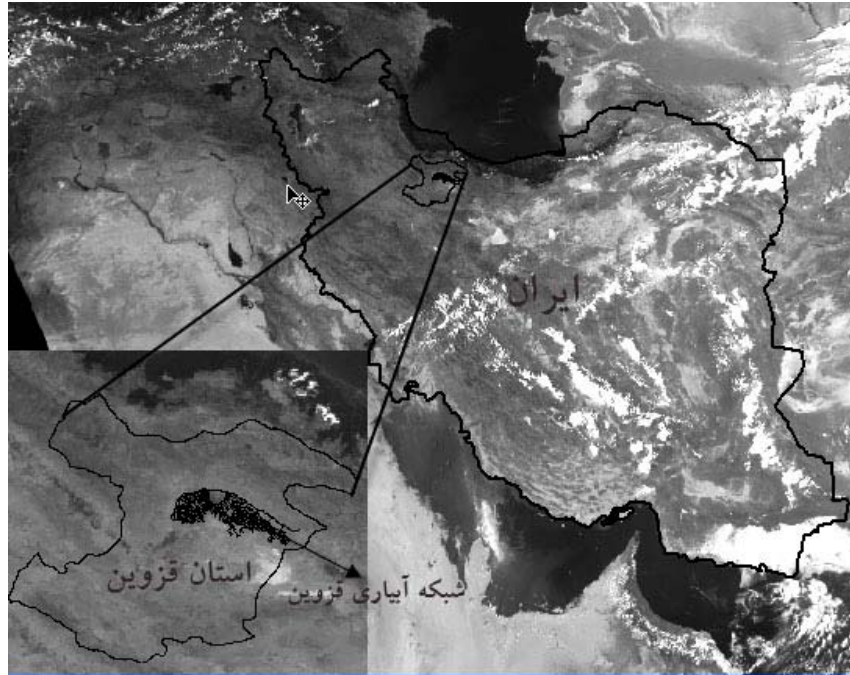
هر فایل تصویر ماهواره نوا، شامل اعداد رقومی پیکسل‌ها، ضرایب واسنجی و یک سری مختصات نقاط کنترل زمینی و مداری ماهواره‌اند. ضرایب واسنجی برای تبدیل اعداد رقومی باندهای مرئی ۱ و ۲ به آلبدو (برحسب درصد) و باندهای ۳،

در این تحقیق، برای نخستین بار روشی ارائه شده که  $ET_0$  با استفاده از تصاویر ماهواره‌ای در شبکه‌های آبیاری ایران تعیین شود. برای برآورد  $ET_0$  در شبکه‌های آبیاری باید داده‌های ورودی آن از محدوده شبکه و برآمده از یک سطح پوشش گیاهی بدون تنش آبی باشد. پر واضح است که در زمان تصویربرداری ماهواره، به جز مزارع تازه آبیاری شده، بقیه مزارع در شرایط حداکثر تبخیر و تعرق نیستند. در این تحقیق، یک پیکسل از مجموعه پیکسل‌های تصویر ماهواره‌ای یک شبکه آبیاری که شرایط بدون تنش آبی را داشته باشد، به عنوان پیکسل مرجع انتخاب و دمای سطح پوشش آن به همراه پارامتر تابش فرازمینی (Ra) برای ورودی مدل  $ET_0$  استفاده شدند. تابش فرا زمینی نشان دهنده مقدار انرژی است که به سطح فوقانی جو می‌رسد و تابعی از روز شمار سال و عرض جغرافیایی است و به اندازه‌گیری نیاز ندارد. با توجه به این‌که بخشی از تابش فرا زمینی که به زمین می‌رسد، انرژی لازم برای تبخیر و تعرق را فراهم می‌کند، در اغلب مدل‌های تبخیر و تعرق به عنوان یکی از پارامترهای ورودی استفاده می‌شود. در این تحقیق، مدل درختی M5 برای تبدیل دمای سطح زمین پیکسل مرجع و تابش فرا زمینی به  $ET_0$  استفاده شده است.

### مواد و روش‌ها

#### معرفی منطقه مورد مطالعه

منطقه مورد مطالعه این تحقیق شبکه آبیاری قزوین انتخاب شده است. این شبکه یکی از مدرن‌ترین شبکه‌های موجود در کشور بوده و قدمت ۴۰ ساله دارد. شبکه آبیاری قزوین حدود ۸۰ هزار هکتار وسعت دارد و از مجموعه پیکسل‌های ماهواره نوا که در محدوده این شبکه قرار گرفته و به شرحی که خواهد آمد، پیکسل دارای شرایط حداکثر تبخیر و تعرق انتخاب شده و داده‌های آن برای تعیین  $ET_0$  مورد استفاده قرار گرفت. شکل ۱ موقعیت کلی شبکه آبیاری قزوین بر روی یک تصویر ماهواره نوا را نشان می‌دهد.



شکل ۱. موقعیت شبکه آبیاری قزوین روی یک تصویر ماهواره نوا

نزدیک و باند قرمز، کمترین اثرات اتمسفر را دارد و کارآمدی آن برای پایش رشد گیاه و تغییرات آن ثابت شده است (۷). شاخص NDVI براساس این واقعیت است که پوشش گیاهی سالم در محدوده مرئی امواج الکترومغناطیس (۰/۴ تا ۰/۷ میکرومتر) به دلیل جذب کلروفیل و سایر رنگدانه‌ها بازتاب کمی داشته ولی بازتاب زیادی در محدوده مادون قرمز (۰/۷ تا ۱/۰۵ میکرومتر) به علت بافت اسفنجی مزوفیل سطح برگ دارد (۳). رابطه زیر برای تعیین شاخص NDVI استفاده می‌شود:

$$NDVI = \frac{ch_2 - ch_1}{ch_2 + ch_1} \quad [1]$$

در رابطه بالا،  $ch_1$  و  $ch_2$  به ترتیب مقادیر واسنجی شده بازتاب مرئی و مادون قرمز باندهای یک و دو سنجنده AVHRR ماهواره نوا هستند. از نظر تئوری حدود شاخص NDVI بین ۱- تا ۱+ است و NDVI اراضی دارای پوشش گیاهی بین ۰/۱ و ۱ است و هر قدر گیاهان در یک پیکسل سبزتر و یا به عبارتی با تنش کمتری مواجه باشند و همچنین تراکم بیشتری داشته باشند، مقدار NDVI بیشتر می‌شود. بر عکس در اراضی بدون گیاه مثل سطوح آبی به علت جذب بالای تابش امواج

۴ و ۵ به دما (برحسب درجه کلوین) استفاده می‌شوند. مختصات نقاط کنترل زمینی برای تصحیحات هندسی تصاویر به کار می‌رود. مقدار پارامتر آلبیدو بستگی به زاویه تابش خورشید داشته و این زاویه در ساعات و روزهای مختلف سال تغییر می‌کند و برای این که این پارامتر معرف بازتاب پوشش سطح زمین باشد، نسبت به زاویه سمت الرأس خورشید (solar zenith angle) نرمال می‌شود. در این تحقیق تمام عملیات ذکر شده بالا از قبیل واسنجی اعداد رقومی، تصحیح هندسی تصاویر و نرمال سازی آلبیدو باندهای ۱ و ۲ با استفاده از نرم افزار ENVI نسخه ۴/۲ انجام شد.

#### شاخص تفاضل نرمال شده پوشش گیاهی (Normalized difference of vegetation index)

یکی از رایج ترین شاخص های پوشش گیاهی که با استفاده از داده های تصاویر ماهواره ای برآورد می شود، شاخص تفاضل پوشش گیاهی نرمال شده (NDVI) است که ارتباط نزدیکی با درصد پوشش گیاهی و شاخص سطح برگ (LAI) دارد (۶). این شاخص به دلیل نرمال شدن تفاضل دو باند مادون قرمز

بخار آب جذب می‌گردد و لذا دمای روشنایی ثبت شده در سنجنده مادون قرمز تفاوت معنی‌داری با دمای واقعی سطح زمین دارد (۱۰). اثر کاهندگی جو در باند طیفی ۱۲ میکرومتر (باند ۵ سنجنده AVHRR) بیشتر از باند ۱۱ میکرومتر (باند ۴ سنجنده AVHRR) است و با افزایش اثر کاهندگی اتمسفر (بیشتر به علت افزایش بخار آب)، تفاوت تابش سنجش شده در دو ناحیه طیفی فوق افزایش می‌یابد. بنابراین تفاوت تابش سنجش شده از یک سطح معین که به‌طور همزمان به‌وسیله دو باند ۱۱ و ۱۲ میکرومتر اندازه‌گیری می‌گردد، به‌علت تفاوت اثر کاهندگی اتمسفر در دو باند فوق است و در الگوریتم‌های روزنه مجزا از همین مغایرت برای تعیین تأثیر اتمسفر در تابش ساطع شده از سطح زمین و در نتیجه برآورد دمای سطح استفاده شده است. در این تحقیق دمای سطح زمین در پیکسل‌های مرجع شبکه آبیاری قزوین با استفاده از الگوریتم زیر برآورد شد (۱۶):

$$T_s = T_f + \frac{2}{3}(T_f - T_d) + 48(1 - \epsilon) - 75\Delta\epsilon \quad [2]$$

در رابطه فوق،  $T_s$  دمای سطح زمین (°C)،  $T_4$  و  $T_5$  دمای روشنایی (°C) باندهای ۴ و ۵ سنجنده AVHRR،  $\epsilon$  و  $\Delta\epsilon$  به‌ترتیب متوسط و تفاضل ضریب گسیل باندهای ۴ و ۵ سنجنده AVHRR هستند. ضریب گسیل هر یک از کانال‌های ۴ و ۵ براساس درصد پوشش گیاهی با استفاده از رابطه زیر تعیین شد (۱۷):

$$\epsilon_i = \epsilon_v P_v + \epsilon_s (1 - P_v) \quad [3]$$

که در آن،  $\epsilon_i$  مقادیر ضریب گسیل باندهای ۴ یا ۵،  $\epsilon_v$  ضریب گسیل پوشش گیاهی (برابر ۰/۹۸۵ برای هر دو کانال ۴ و ۵)،  $\epsilon_s$  ضریب گسیل خاک لخت (برای باند ۴ برابر ۰/۹۴۹ و برای باند ۵ برابر ۰/۹۶۷) و  $P_v$  بخش پوشش گیاهی (اعشاری) می‌باشند.  $P_v$  با استفاده از شاخص NDVI برآورد می‌شود (۴):

$$P_v = \left( \frac{NDVI - NDVI_s}{NDVI_v - NDVI_s} \right)^2 \quad [4]$$

در رابطه فوق،  $NDVI_v$  و  $NDVI_s$  معرف مقادیر NDVI پوشش گیاهی کامل ( $P_v = 1$ ) و خاک لخت ( $P_v = 0$ ) هستند که برای کاربرد در مناطق وسیع به‌ترتیب برابر ۰/۵ و ۰/۲ در نظر گرفته

الکترومغناطیس توسط آب، مقدار NDVI منفی است. مقدار شاخص NDVI در اراضی بایر کمتر از ۰/۲ بوده و در اراضی مخلوطی از بایر و پوشش گیاهی بین ۰/۲ تا ۰/۵ و در اراضی با پوشش گیاهی کامل و متراکم بیشتر از ۰/۵ می‌باشد (۷).

### انتخاب پیکسل معرف گیاه مرجع

با توجه به این‌که هدف از انجام این تحقیق تعیین تبخیر و تعرق گیاه مرجع شبکه آبیاری قزوین است و از آنجا که تمام قسمت‌های این شبکه شرایط گیاه مرجع را ندارند، لذا فرض شد در هر تصویر یکی از پیکسل‌های داخل محدوده شبکه که دارای بیشترین NDVI و مقدار آن نیز بیش از ۰/۵ باشد، معرف پیکسل گیاه مرجع باشد. در این تحقیق برای تعیین این پیکسل برای هر تصویر، با استفاده از گزینه Pixel to Table منوی Utility نرم‌افزار ERDAS IMAGINE، اطلاعات تمام پیکسل‌های داخل شبکه آبیاری قزوین به یک فایل متنی منتقل شدند. سپس شاخص NDVI برای تمام پیکسل‌ها با استفاده از باندهای یک و دو در محیط Excel برآورد و پیکسل دارای بیشترین مقدار NDVI برای هر تصویر معلوم شد. این پیکسل به‌عنوان مرجع برای تعیین  $ET_0$  انتخاب و اطلاعات مربوط به باندهای آن برای برآورد دمای سطح زمین مورد استفاده قرار گرفت.

### دمای سطح زمین در پیکسل مرجع

در این تحقیق دمای سطح زمین ( $T_s$ ) در پیکسل مرجع یکی از دو پارامتر ورودی مدل درختی M5 برای برآورد  $ET_0$  است. در سنجش از دور تصاویر ماهواره‌ای، دمای سطح زمین به‌صورت رادیومتری با استفاده از الگوریتم‌های روزنه مجزا (Split-window) تعیین می‌شود. این الگوریتم‌ها بر مبنای تفاوت قابلیت انتقال اتمسفر در دو محدوده طیفی مجاور هم در ناحیه مادون قرمز، در نزدیکی ۱۱ و ۱۲ میکرومتر توسعه یافته‌اند. تابش ساطع شده از سطح زمین در باند مادون قرمز قبل از این‌که به سنجنده برسد به‌وسیله ذرات موجود در جو به‌ویژه

می‌شود (۱۵). به منظور دست یافتن به مقادیر ثابتی از  $P_v$ ، پیکسل‌هایی که مقدار NDVI آنها کمتر از  $NDVI_S$  باشد،  $P_v$  آنها صفر و پیکسل‌هایی که مقدار NDVI آنها بیشتر از  $NDVI_V$  باشد،  $P_v$  آنها یک منظور می‌شود.

### تابش فرا زمینی (Ra)

تابش فرا زمینی معرف انرژی تابشی خورشید است که به صورت عمودی به سطح بالای جو می‌رسد و مقدار آن برای پیکسل مرجع هر تصویر در زمان گذر ماهواره نوا برآورد و به عنوان دومین پارامتر ورودی مدل درختی تدوین شده در این تحقیق مورد استفاده قرار گرفت. این تابش از رابطه زیر برآورد شده است (۲):

$$Ra = G_{sc} \times d_r \times \cos \theta \quad [5]$$

که در آن،  $G_{sc}$  ثابت خورشیدی (برابر ۱۳۶۷ وات بر مترمربع)،  $d_r$  فاصله نسبی معکوس زمین و خورشید و  $\theta$   $\cos$  کسینوس زاویه تلاقی خورشید هستند. پارامتر  $d_r$  با استفاده از معادله زیر محاسبه شده است (۲):

$$d_r = 1 + 0.033 \cos(2\pi / 365 \times DOY) \quad [6]$$

در رابطه فوق  $DOY$  روز شمار سال (شروع از اول ژانویه) و زاویه  $(2\pi/365 \times DOY)$  برحسب رادیان است. مقادیر  $d_r$  بین ۰/۹۷ تا ۱/۰۳ و بدون بعد می‌باشد. زاویه تلاقی خورشید، زاویه برخورد تابش خورشید به زمین است و این زاویه روی شدت تابش رسیده به زمین موثر است. رابطه زیر برای محاسبه  $\cos \theta$  استفاده شده است (۵):

$$\cos \theta = \sin \delta \sin \varphi + \cos \delta \cos \varphi \cos \omega \quad [7]$$

در رابطه فوق،  $\delta$ ،  $\varphi$  و  $\omega$  به ترتیب زاویه میل خورشید، عرض جغرافیایی و زاویه زمانی خورشید و همگی برحسب رادیان هستند. برای تعیین  $\delta$  و  $\omega$  از روابط توصیه شده آلن و همکاران (۲) استفاده شده است.

### مدل درختی M5

اولین بار مدل درختی M5 توسط کوئینلن (۱۲) براساس روش

طبقه‌بندی درختی برای ایجاد رابطه بین متغیرهای مستقل و وابسته ارائه شد. این مدل بر خلاف مدل درخت تصمیم (Decision tree) که برای داده‌های کیفی (Categorical) استفاده می‌شود، برای هر دو نوع داده‌های کیفی و کمی (Quantitative) قابل استفاده است (۹، ۱۲ و ۱۳). مدل M5 مشابه توابع خطی جدا شده (Piece-wise linear functions) است که ترکیبی از مدل‌های رگرسیون خطی و رگرسیون درختی است که کاربردهای زیادی در علوم مختلف دارد (۱۸). مدل رگرسیون برای کل فضای داده‌ها یک معادله رگرسیون ارائه می‌دهد، ولی در مدل رگرسیون درختی، محدوده داده‌ها به زیر ناحیه‌هایی که برگ (Leaf) نامیده می‌شوند، تقسیم شده و به هر از این برگ‌ها یک برچسب عددی نسبت داده می‌شود. جایگزینی معادله رگرسیون خطی به جای برچسب در گره‌ها، شیوه‌ای است که در مدل M5 اجرا می‌شود که می‌تواند متغیرهای عددی پیوسته را پیش‌بینی و یا برآورد کند (۱۲). ساختار درخت تصمیم‌گیری شیهه یک درخت بوده که از ریشه (Root)، شاخه‌ها (Branches)، گره‌ها (Nodes) و برگ‌ها (Leaves) تشکیل یافته است. درخت تصمیم از بالا به پایین ترسیم می‌شود. ریشه به‌عنوان اولین گره در بالا قرار گرفته و زنجیره‌ای از شاخه‌ها و گره‌ها به برگ‌ها ختم می‌شود. هر گره مربوط به یک متغیر پیش‌بینی کننده بوده و به وسیله شاخه‌ها عمل انشعاب در گره انجام می‌گیرد. شاخه‌ها شامل بازه‌ای عددی است که از گره والد (Parent node) منشعب شده و به یک گره فرزند (Child node) می‌رسد. در مدل M5 از هر گره والد دو شاخه منشعب می‌شود.

ساخت مدل درخت تصمیم‌گیری در دو مرحله انجام می‌شود. در مرحله اول، درخت تصمیم‌گیری با انشعاب سازی داده‌ها تشکیل می‌شود. معیار انشعاب در مدل M5، بیشینه‌سازی کاهش انحراف معیار داده‌ها در گره فرزند است. زمانی که امکان کاهش انحراف معیار داده‌های گره فرزند میسر نبود، گره والد آن منشعب نشده و به گره پایانی و یا برگ رسیده است. کاهش انحراف معیار از رابطه زیر برآورد می‌شود (۱۱):

۲۰۰۶ و ۲۰۰۷ انجام شد و داده‌های سال ۲۰۰۸ برای تست و ارزیابی استفاده شد.

### معادله پنمن - مانیتث فائو (FAO-PM)

آلن و همکاران (۲) با اعمال مفروضات گیاه مرجع در معادله پنمن - مانیتث، معادله‌ای ارائه دادند که تبخیر و تعرق با استفاده از داده‌های هواشناسی برآورد می‌شود و نتایج آن به‌عنوان مبنا برای ارزیابی و واسنجی سایر معادلات توصیه شده است (۲):

$$ET_0 - PM =$$

$$\frac{0.408 \Delta (R_n - G) + \gamma \frac{900}{T_a + 273} U_2 (e_s - e_a)}{\Delta + \gamma (1 + 0.34 U_2)}$$

[۹]

که در آن،  $ET_0 - PM$  تبخیر و تعرق مرجع برآورد شده با استفاده از معادله پنمن مانیتث ( $\text{mm d}^{-1}$ )،  $\Delta$  شیب منحنی فشار بخار اشباع با دما ( $\text{Kpa } ^\circ\text{C}^{-1}$ )،  $R_n$  تابش خالص رسیده به زمین ( $\text{MJ m}^{-2} \text{d}^{-1}$ )،  $G$  شار گرمای خاک ( $\text{MJ m}^{-2} \text{d}^{-1}$ )،  $\gamma$  ثابت سایکرومتر ( $\text{Kpa } ^\circ\text{C}^{-1}$ )،  $T_a$  متوسط دمای روزانه هوا ( $^\circ\text{C}$ )،  $U_2$  متوسط روزانه سرعت باد ( $\text{m s}^{-1}$ )،  $e_s$  فشار بخار اشباع ( $\text{Kpa}$ ) و  $e_a$  فشار بخار هوا ( $\text{Kpa}$ ) می‌باشند. در این تحقیق مؤلفه‌های رابطه فوق با استفاده از روابط ارائه شده در نشریه شماره ۵۶ فائو (۲) و داده‌های هواشناسی تعیین و  $ET_0$  در روزهای مصادف با تصاویر ماهواره اخذ شده، برآورد و با نتایج مدل M5 مقایسه شدند.

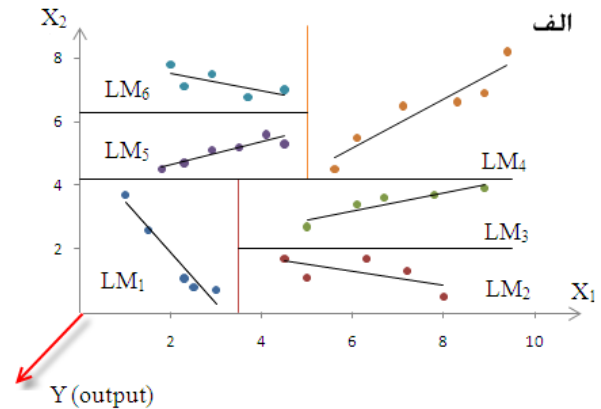
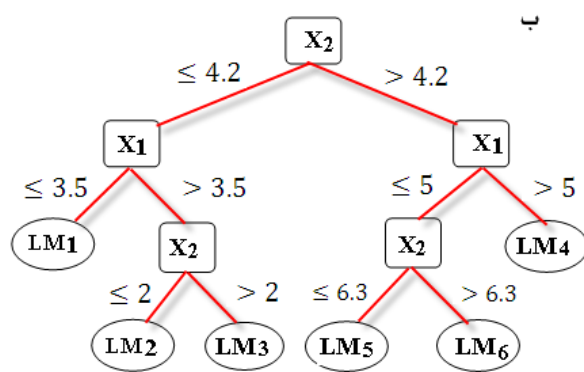
### شاخص‌های آماری

در این تحقیق نتایج  $ET_0$  حاصل از معادله FAO-PM (ET-PM) به‌عنوان مقادیر مبنا ( $o_i$ ) و نتایج  $ET_0$  حاصل از مدل درختی M5 (ET-M5) به‌عنوان مقادیر برآورد شده ( $P_i$ ) استفاده شدند. به منظور ارزیابی نتایج مدل درختی M5، علاوه بر ترسیم نمودارها، از شاخص‌های آماری ضریب تبیین ( $R^2$ )، درصد ریشه میانگین مربعات خطا (PRMSE) و درصد میانگین

$$SDR = sd(T) - \sum \frac{|T_i|}{|T|} sd(T_i) \quad [۸]$$

در رابطه فوق، SDR کاهش انحراف معیار در گره فرزند، T مجموعه داده‌های ورودی به گره والد،  $T_i$  زیر مجموعه از داده‌های ورودی به گره والد و  $sd$  انحراف معیار است. به‌علت فرآیند انشعاب، انحراف معیار داده‌ها در گره فرزند کمتر از گره والد بوده و لذا از همگنی بیشتری برخوردارند. در مدل M5 بعد از آزمودن تمام انشعابات ممکن از یگ گره، انشعابی که بیشترین کاهش انحراف معیار را تولید کند، انتخاب می‌شود. این گونه انشعاب‌سازی در اغلب موارد منجر به ایجاد درخت بزرگی شده و امکان دارد برازش بیش از حد روی داده‌های آموزشی رخ دهد (۱۲). برازش بیش از حد باعث کاهش یافتن کلیت بخشی مدل شده به‌طوری‌که مدل فقط برای داده‌هایی که برای ساخت آن استفاده شدند، اعتبار دارد و برای داده‌های جدید از دقت لازم برخوردار نیست. بنابراین مرحله دوم طراحی مدل درختی، شامل کوچک کردن درخت بیش از حد بزرگ شده از طریق هرس‌سازی شاخه‌ها و جایگزین شدن با توابع رگرسیون خطی است. الگوریتم‌های مختلفی برای هرس کردن درخت ارائه شده است. در این تحقیق از الگوریتم کوئینلن (۱۳) استفاده شد. در این الگوریتم ابتدا به درخت اجازه داده می‌شود تا به اندازه کافی رشد کند. سپس گره‌هایی که باعث افزایش دقت دسته‌بندی نمی‌شوند، هرس می‌گردند. شکل ۲-الف انشعابات داده‌های ورودی  $X_1$  و  $X_2$  (متغیرهای مستقل) که به شش مدل رگرسیون خطی در برگ‌ها (برچسب‌های LM1 تا LM2) منتهی شده را نشان می‌دهد. فرم کلی این مدل‌ها به‌صورت  $y = a_0 + a_1x_1 + a_2x_2$  است که در آن  $a_0$ ،  $a_1$  و  $a_2$  ضرایب رگرسیون خطی هستند. شکل ۲-ب ارتباط انشعابات را به‌صورت دیاگرام درختی نشان می‌دهد.

در این بررسی از نرم‌افزار Weka که در دانشگاه Waikato کشور نیوزلند توسعه یافته و اسم آن از عبارت "Waikato Environment for knowledge Analysis" گرفته شده، استفاده شده است. ساخت مدل M5 با استفاده از داده‌های سال‌های



شکل ۲. شمای کلی شبکه درختی M5

دمای سطح زمین، به علت تابش خورشید به زمین و سپس انتقال گرما به هوا بیشتر از هوا می‌باشد و این افزایش برای پوشش گیاهی بیش از چند درجه نیست. ولی در شکل ۳ ملاحظه می‌شود که دمای سطح زمین حدود ۲ برابر دمای هوا است. دو دلیل می‌توان برای بیشتر بودن داده‌های دمای سطح زمین نسبت به دمای هوا که در این تحقیق جمع‌آوری شده، برشمرد. نخست، همان‌طور که در بالا اشاره شد، دمای هوا معرف متوسط دمای روزانه است که از میانگین دمای بیشینه و کمینه هوا در طی روز به دست آمده ولی دمای سطح زمین مربوط به زمان گذر ماهواره نواست که مصادف با ساعات ظهر ایران می‌باشد. دوم این که دمای هوا در ایستگاه‌های هواشناسی به وسیله دامپنج جیوه‌ای اندازه‌گیری می‌شود که در آن میزان دما با استفاده از بالا و پایین رفتن سطح جیوه سنجش می‌شود ولی دمایی که توسط باندهای حرارتی سنجنده ماهواره‌ها به دست می‌آید به صورت رادیومتریک برآورد می‌شود. هم‌چنین در شکل ۳ دیده می‌شود، دامنه تغییرات دمای سطح زمین به مراتب کمتر از دامنه تغییرات دمای هواست. به طوری که دمای هوا بین ۱۴/۶ تا ۳۳/۶ درجه سانتی‌گراد ولی دمای سطح زمین بین ۵۱/۳ تا ۵۸/۴ درجه دمای هوا حدود ۱۹ درجه و دامنه تغییرات دمای سطح زمین حدود ۸ درجه است، به عبارتی دامنه تغییرات دمای هوا حدود ۲/۶ برابر دامنه تغییرات دمای سطح زمین است. این نتایج نشان

انحراف خطا (PMBE) استفاده شده است. معادلات آنها به شرح زیر است:

$$R^2 = \frac{\left[ \sum_{i=1}^N (P_i - \bar{P})(O_i - \bar{O}) \right]^2}{\sum_{i=1}^N (P_i - \bar{P})^2 \sum_{i=1}^N (O_i - \bar{O})^2} \quad [10]$$

$$PRMSE = \frac{N^{-1} \sum_{i=1}^N (P_i - O_i)^2}{\bar{O}} \times 100 \quad [11]$$

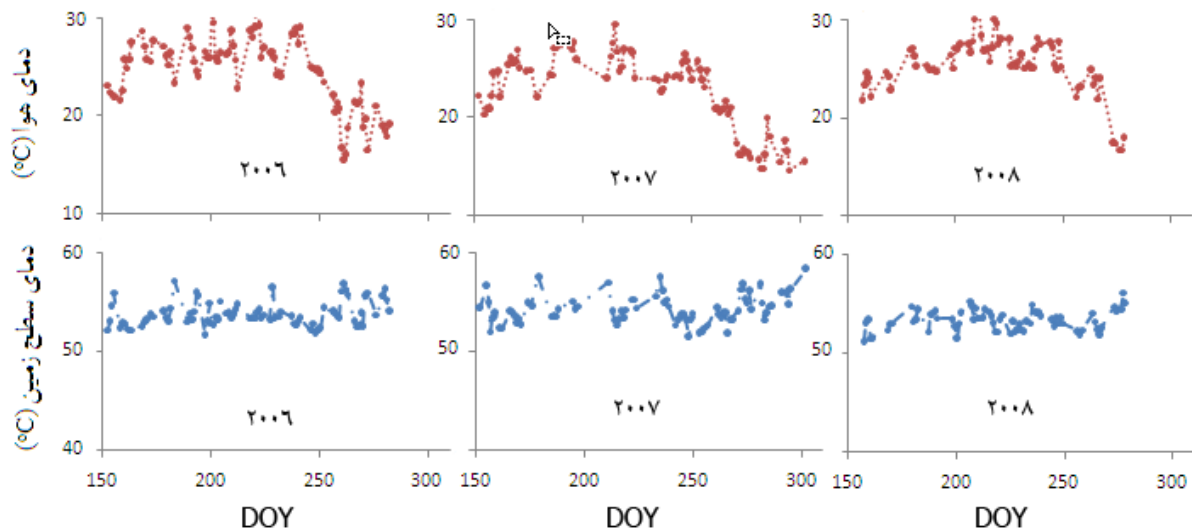
$$PMBE = \frac{N^{-1} \sum_{i=1}^N P_i - O_i}{\bar{O}} \times 100 \quad [12]$$

در روابط فوق،  $N$  تعداد داده‌ها،  $\bar{P}$  و  $\bar{O}$  به ترتیب میانگین مقادیر مبنا و برآورد شده هستند.

## نتایج و بحث

تغییرات زمانی دمای سطح زمین در زمان گذر ماهواره نوا و متوسط دمای روزانه هوا براساس روز شمار سال (DOY) در طی ۳ سال متوالی (۲۰۰۶ تا ۲۰۰۸) از اواخر بهار تا اواخر تابستان در شکل ۳ ارائه شده است. باید به این نکته توجه داشت که داده‌های دمای سطح زمین این تحقیق مربوط به پیکسل‌هایی هستند که بیشترین درصد پوشش گیاهی را در هر تصویر دارند و زمان برداشت این دما مصادف با زمان گذر ماهواره نوا است که در حدود ساعات ظهر ایران می‌باشد. از طرفی داده‌های دمای هوا معرف متوسط دمای روزانه است.

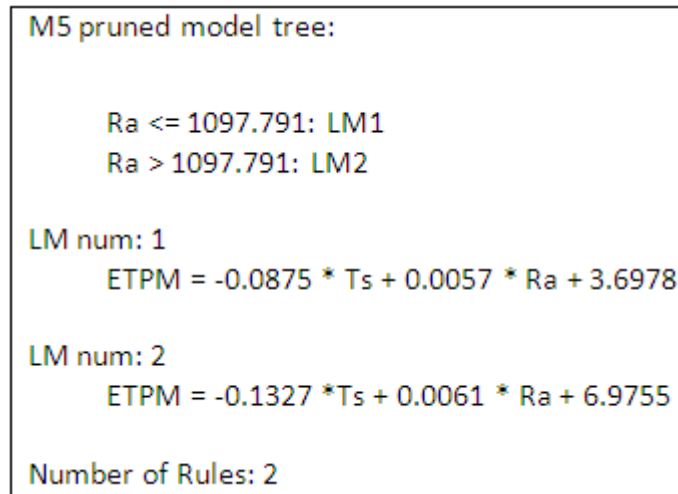




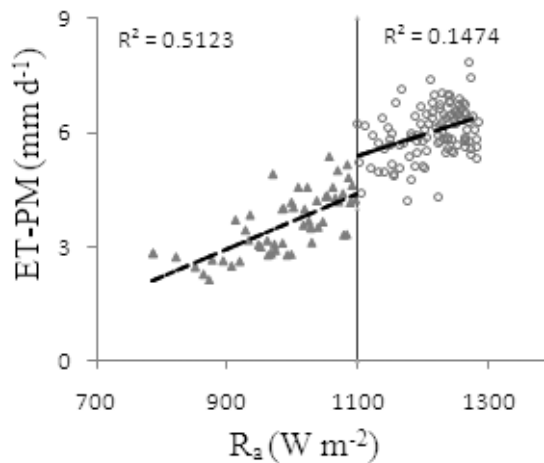
شکل ۳. تغییرات زمانی دمای سطح زمین (در سردترین پیکسل شبکه آبیاری قزوین) و متوسط دمای هوا (در ایستگاه هواشناسی قزوین) در طی سال‌های ۲۰۰۶ تا ۲۰۰۸

مدل درختی مندرج در شکل ۴ برای داده‌های آموزش (داده‌های سال‌های ۲۰۰۶ و ۲۰۰۷) و داده‌های آزمون (داده‌های سال ۲۰۰۸) اجرا شد و پراکنش نتایج  $ET_0$  حاصل از آن (ET-M5) با نتایج مدل پنمن-مانتیت (ET<sub>0</sub>-PM) در شکل ۶ ارائه شده است. ملاحظه می‌شود، نتایج شاخص آماری مدل درختی M5 برای هر دو داده‌های واسنجی و آزمون تقریباً مشابه و تفاوت چندانی ندارند و لذا این مدل برای سایر داده‌هایی که در تدوین مدل شرکت نداشتند، قابل کاربرد است. همان‌طورکه ملاحظه می‌شود، درصد جذر میانگین مجذور خطا برای هر دو داده‌های واسنجی و آزمون کمتر از ۱۰ درصد برآورد شده (برای داده‌های واسنجی و آزمون به ترتیب برابر ۹/۹ و ۸/۵ درصد) نشان‌دهنده این است که دقت مدل درختی M5 برای تبدیل داده‌های تابش فرا زمینی و دمای سطح زمین حاصل از تصاویر ماهواره نوا به  $ET_0$  قابل قبول می‌باشد. درصد میانگین انحراف خطا برای هر دو داده‌های واسنجی و آزمون کمتر از ۲/۵ درصد (برای داده‌های واسنجی و آزمون به ترتیب برابر ۱/۶ و ۲/۵ درصد) برآورد شده و ناچیز است و علامت مثبت این شاخص آماری نشان‌دهنده بیش برآورد ناچیز مدل M5 است. مقایسه بین ضرایب تعیین درج شده در شکل ۶ نشان می‌دهد،

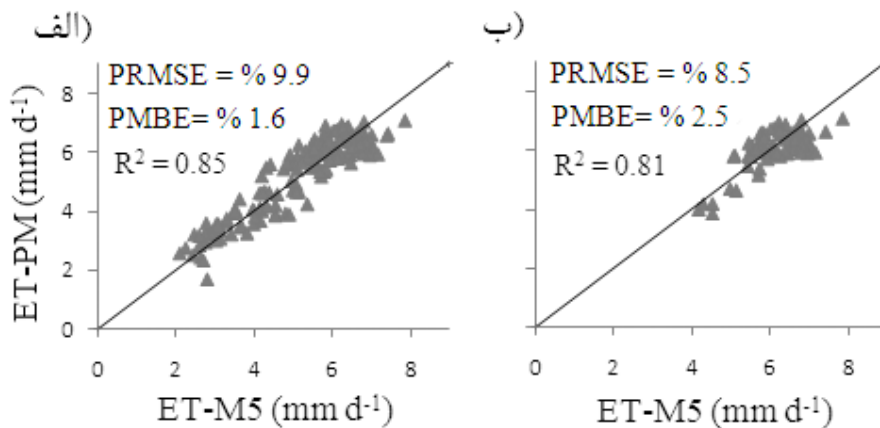
می‌دهد، پوشش گیاهی به دلیل تبخیر و تعرق اثر تعدیل‌کننده بر دمای محیط داشته و مشابه مناطق مرطوب و نزدیک دریا تغییرات دما در طی یک فصل کمتر از مناطق خشک است. مدل شبکه درختی M5 که برای تبدیل داده‌های دمای سطح زمین و تابش فرا زمینی به  $ET_0$  ساخته شد، در شکل ۴ ارائه شده است. ملاحظه می‌شود، پارامتر تابش فرا زمینی به‌عنوان متغیر تصمیم‌گیری تعیین شده و براساس دو گزاره شرطی در مدل شبکه درختی به دو برگ منتهی می‌شود. همان‌طورکه مشاهده می‌شود، اگر تابش فرا زمینی کمتر یا مساوی ۱۰۷۹/۷۹ وات بر مترمربع باشد، مدل خطی ۱ (LM1) و در غیر این صورت مدل خطی ۲ (LM2) برای برآورد  $ET_0$  استفاده می‌شود. شکل ۵ نحوه انشعاب داده‌های تابش فرا زمینی برای برآورد  $ET_0$  براساس نتایج مدل درختی M5 نشان داده شده است. ضرایب تعیین برای دو شاخه انشعاب حدود ۵۲٪ و ۱۵٪ برآورد شده است. مقادیر این ضرایب نشان می‌دهد، زمانی که تابش فرا زمینی کمتر یا مساوی ۱۰۹۷/۸ وات بر مترمربع باشد، حدود ۵۲ درصد تغییرات  $ET_0$  ناشی از تغییرات تابش فرا زمینی است ولی تأثیر این تابش بر  $ET_0$  زمانی که مقدار آن بیشتر از ۱۰۹۷/۸ وات بر مترمربع باشد، کمتر شده و به حدود ۱۵ درصد می‌رسد.



شکل ۴. مدل شبکه درختی M5 برای تبدیل داده‌های دمای سطح زمین و تابش فرا زمینی به  $ET_0$

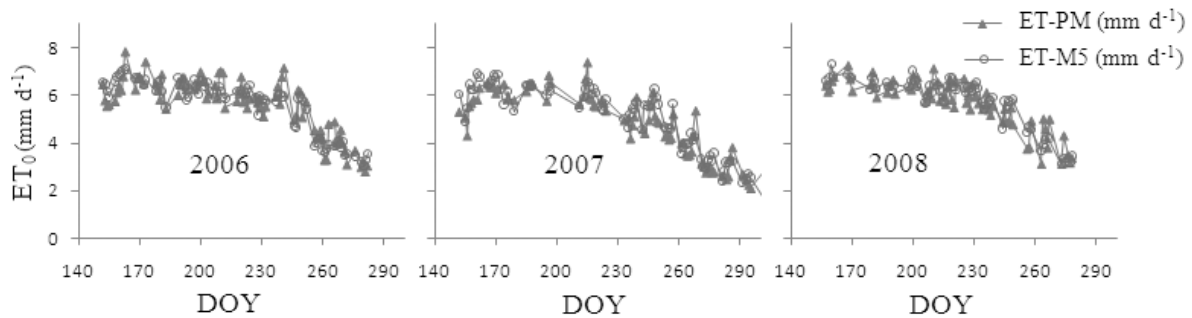


شکل ۵. انشعاب داده‌های تابش فرا زمینی برای برآورد  $ET_0$  براساس نتایج مدل درختی M5



شکل ۶. پراکنش یک به یک نتایج  $ET_0$  و شاخص‌های آماری مدل‌های درختی M5 و پنمن مانیت،

الف) داده‌های واسنجی و ب) داده‌های آزمون



شکل ۷. روند تغییرات زمانی نتایج  $ET_0$  مدل‌های درختی M5 و پنمن ماتیتث در طی سال‌های ۲۰۰۶ تا ۲۰۰۸

از دما و تابش فرا زمینی به عوامل دیگری چون سرعت باد و رطوبت نسبی بستگی دارد که این پارامترها توسط تصاویر ماهواره‌ای تعیین نمی‌شود. ولی برآیند تأثیر این پارامترها در ضرایب معادلات رگرسیون به‌طور ضمنی منعکس می‌شود. لذا برای سایر شبکه‌ها که دامنه پارامترهای فوق در آنها متفاوت از شبکه آبیاری قزوین است، باید مدل درختی مخصوص آن شبکه تدوین و ارزیابی شود. هم‌چنین ذکر این نکته ضروری است که در این تحقیق، داده‌های دمای سطح زمین و تابش فرا زمینی در زمان گذر ماهواره نوا تبدیل به  $ET_0$  روزانه شدند. برای تبدیل داده‌های لحظه‌ای مربوط به یک زمان خاصی از روز به دوره روزانه نیاز به ضریب تبدیل است که این ضریب نیز به‌صورت ضمنی در ضرایب معادلات رگرسیون وارد شده است. محدوده زمان گذر ماهواره نوا بین ۱۲ تا ۲ بعد از ظهر به وقت ایران است، از این رو مدلی که در این تحقیق ارائه شده، نمی‌تواند برای سایر تصاویر ماهواره‌ای که زمان گذر آنها خارج از این محدوده هستند، مورد استفاده قرار گیرد. توصیه می‌شود، روش ارائه شده در این بررسی در سایر شبکه‌های آبیاری و ماهواره‌های دیگر مورد بررسی قرار گیرد.

زمانی که دمای سطحی زمین در مدل‌های رگرسیون وارد شود، سبب افزایش ضریب تعیین مدل M5 برای برآورد  $ET_0$  شده و از این رو هر دو پارامتر تابش فرا زمینی و دمای سطح زمین اثر گذار هستند.

روند تغییرات زمانی نتایج  $ET_0$  مدل‌های درختی M5 و پنمن ماتیتث در طی سال‌های ۲۰۰۶ تا ۲۰۰۸ در شکل ۷ ارائه شده است. ملاحظه می‌شود منحنی‌های هر دو مدل روند یکسانی دارند و تقریباً روی هم افتاده‌اند و لذا تغییرات پارامترهای جوی در طول فصل آبیاری منطقه قزوین روی دقت نتایج تأثیر ندارد.

### نتیجه‌گیری

با استفاده از روش ارائه شده در این تحقیق،  $ET_0$  در شبکه آبیاری قزوین با استفاده از تصاویر ماهواره نوا و بدون استفاده از داده‌های اندازه‌گیری شده زمینی به دقت مناسبی برآورد شد. ولی باید به نکته توجه شود که شبکه درختی و معادلات رگرسیونی که در برگ‌های این شبکه برای تبدیل دمای سطح زمین و تابش فرا زمینی ارائه شده‌اند فقط برای تصاویر ماهواره نوا و شبکه آبیاری قزوین معتبر می‌باشد. تبخیر و تعرق به غیر

### منابع مورد استفاده

۱. رحیمی خوب، ع.، س. م. ر. بهبهانی و م. جمشیدی. ۱۳۸۸. ارزیابی دو روش تجربی و مدل‌های شبکه عصبی مصنوعی برای برآورد تابش خورشید رسیده به زمین - مطالعه موردی در جنوب شرق تهران. مجله علوم و فنون کشاورزی و منابع طبیعی، علوم آب و خاک ۱۳(۵۰): ۵۳-۶۳.
2. Allen, R.G., L.S. Pereira, D. Raes and M. Smith. 1998. Crop evapotranspiration: Guidelines for computing crop water requirements. Irrigation and Drainage Paper No. 56- FAO, Rome.

3. Cambell, J.B. 1987. Introduction to Remote Sensing. The Guilford Press, New York.
4. Carlson, T.N. and D.A. Ripley. 1997. On the relation between NDVI, fractional vegetation cover, and leaf area index. *Remote Sens. Environ.* 62: 241-252.
5. Duffie, J.A. and W.A. Beckman. 1991. Solar Engineering of Thermal Processes. 2<sup>nd</sup> ed., John Wiley & Sons, New York.
6. John, G., D. Yuan, R.S. Lunetta and C.D. Elvidge. 1998. A change detection experiment using vegetation indices. *Photogram. Eng. Remote Sens.* 62: 143-150.
7. Julien, Y., J.A. Sobrino and W. Verhoef. 2006. Changes in land surface temperatures and NDVI values over Europe between 1982 and 1999. *Remote Sens. Environ.* 103(1): 43-55.
8. Maeda, E.E., D.A. Wiberg and P.K. Pellikka. 2011. Estimating reference evapotranspiration using remote sensing and empirical models in a region with limited ground data availability in Kenya. *Appl. Geography* 31: 251-258.
9. Mitchell, T.M. 1997. Machine Learning. The McGraw-Hill Comp. Press, N.Y.
10. Ouaidrari, H., S.N. Goward, K.P. Czajkowski, J.A. Sobrino and E. Vermote. 2002. Land surface temperature estimation from AVHRR thermal infrared measurements: An assessment for the AVHRR Land pathfinder II data set. *Remote Sens. Environ.* 81: 114-128.
11. Pal, M. and S. Deswal. 2009. M5 model tree based modelling of reference evapotranspiration. *Hydrol. Process.* 23: 1437-1443.
12. Quinlan, J.R. 1986. Introduction of decision trees. *Machine Learning* 1: 81-106.
13. Quinlan, J.R. 1992. Learning with continuous classes. *Proceedings of the Fifth Australian Joint Conference on Artificial Intelligence*, Hobart, Australia, 16-18 November, World Scientific, Singapore, pp.343-348.
14. Rivas, R. and V. Caselles. 2004. A simplified equation to estimate spatial reference evaporation from remote sensing-based surface temperature and local meteorological data. *Remote Sens. Environ.* 93: 68-76.
15. Sobrino, J. A. and N. Raissouni. 2000. Toward remote sensing methods for land cover dynamic monitoring. Application to Morocco. *Intl. J. Remote Sens.* 21: 353-366.
16. Ulivieri, C., M.M. Castronovo, R. Francioni and A. Cardillo. 1994. A split-window algorithm for estimating land surface temperature from satellites. *Adv. Space Res.* 14(3): 59-65.
17. Valor, E. and V. Caselles. 1996. Mapping land surface emissivity from NDVI: Application to European, African and South American areas. *Remote Sens. Environ.* 57: 167-184.
18. Witten, I.H. and E. Frank. 2005. Data Mining: Practical Machine Learning Tools and Technique. Morgan Kaufmann Pub., San Francisco.